

Werk

Label: Article

Jahr: 1974

PURL: https://resolver.sub.uni-goettingen.de/purl?316342866_0015|log43

Kontakt/Contact

[Digizeitschriften e.V.](#)
SUB Göttingen
Platz der Göttinger Sieben 1
37073 Göttingen

✉ info@digizeitschriften.de

СКОЛЬЗЯЩИЕ БЕСКОНЕЧНО МАЛЫЕ ИЗГИБАНИЯ ВЫПУКЛЫХ ПОВЕРХНОСТЕЙ
 ВРАЩЕНИЯ

Н.Г. ПЕРЛОВА, Ростов-на-Дону

Аннотация: Устанавливается существование на выпуклой поверхности вращения S класса C^2 счетного множества пар параллелей $(\mu_{\rho}, \tilde{\mu}_{\rho})$ таких, что пояс поверхности S , заключенной между μ_{ρ} и $\tilde{\mu}_{\rho}$, допускает бесконечно малые изгибания 1-го и 2-го порядков, при которых параллели μ_{ρ} и $\tilde{\mu}_{\rho}$ остаются плоскими кривыми.

Ключевые слова: поверхность вращения, изгибания, плоская кривая.

AMS: 53A05

Ref. Ž.: 3.934.14

Известно [1], что на замкнутой поверхности вращения S положительной гауссовой кривизны существует счетное множество параллелей μ_{ρ} таких, что каждый сегмент S_{ρ} , ограниченный параллелью μ_{ρ} и неоднозначно проектирующийся на плоскость граничной параллели, допускает бесконечно малые изгибания 1-го и 2-го порядков, при которых параллель μ_{ρ} остается плоской кривой (так называемые скользящие бесконечно малые изгибания).

В настоящей заметке доказывается существование на поверхности S счетного множества над параллелей $(\mu_{\rho}, \tilde{\mu}_{\rho})$ таких, что заключенный между параллелями μ_{ρ} и $\tilde{\mu}_{\rho}$ пояс до-

пускает скользкие бесконечно малые изгибания 1-го и 2-го порядков. Для доказательства используется метод С. Кон-Фоссена [2].

Рассмотрим поверхность вращения $S: \bar{x} = \mu \bar{e} + \kappa(\mu) \bar{a}(v)$, отнесенную к подвижному реперу $\bar{e}, \bar{a}(v), \bar{a}'(v)$ [2]. Пусть $\kappa(\mu) = \sqrt{\mu(a-\mu)} R(\mu)$, $\mu \in [0, a]$, $R(\mu) \in C^2[0, a]$, $R(\mu) > 0$, $\kappa''(\mu) < 0$ при $\mu \in (0, a)$. При этих условиях гауссова кривизна поверхности положительна

Методом С. Кон-Фоссена [2] отыскание бесконечно малых изгибаний 1-го порядка поверхности S сводится к решению уравнения

$$(1) \quad \kappa(\mu) \chi_{\kappa}''(\mu) + (\kappa^2 - 1) \kappa''(\mu) \chi_{\kappa}(\mu) = 0$$

при $\kappa \geq 2$. Через функции $\chi_{\kappa}(\mu)$ без квадратур выражаются функции

$$(2) \quad \begin{cases} i\kappa \varphi_{\kappa}(\mu) = -\kappa'(\kappa^2 - 1) \chi_{\kappa} - \kappa \chi_{\kappa}' & ; \\ \psi_{\kappa}(\mu) = -i\kappa \chi_{\kappa} & , \end{cases}$$

которые вместе с χ_{κ} определяют изгибающее поле \bar{x}_{κ} 1-го порядка:

$$\begin{aligned} \bar{x}_{\kappa}(\mu, v) = & (\varphi_{\kappa} e^{i\kappa v} + \bar{\varphi}_{\kappa} e^{-i\kappa v}) \bar{e} + \\ & + (\psi_{\kappa} e^{i\kappa v} + \bar{\psi}_{\kappa} e^{-i\kappa v}) \bar{a}(v) + \\ & + (\chi_{\kappa} e^{i\kappa v} + \bar{\chi}_{\kappa} e^{-i\kappa v}) \bar{a}'(v) . \end{aligned}$$

Известно [2], что уравнение (1) имеет фундаментальную систему решений вида

$$\chi_{\kappa}^+(u) = u^{\frac{1+\kappa}{2}} (a-u)^{\frac{1-\kappa}{2}} X_{\kappa}^+(u) ,$$

$$\chi_{k_0}^-(u) = u^{\frac{1-k_0}{2}} (a-u)^{\frac{1+k_0}{2}} \chi_{k_0}^-(u) ,$$

где $\chi_{k_0}^\pm(u) \in C^2[0, a]$. В силу условия $\frac{\chi''}{\chi} < 0$ из (1)

следует:

$$\frac{\chi_{k_0}''}{\chi_{k_0}} > 0$$

на $(0, a)$, а потому функции $\chi_{k_0}^\pm(u)$ не имеют положительных максимумов и отрицательных минимумов в интервале $(0, a)$. Так как решение уравнения (1) определяется с точностью до постоянного множителя, то можно считать функции $\chi_{k_0}^\pm(u)$ положительными. По той же причине можно считать, что графики функций $\chi_{k_0}^+(u)$ и $\chi_{k_0}^-(u)$ (см. Рис. 1) пересекаются в точке $u = u_{\text{экв}}$, соответствующей экватору поверхности.

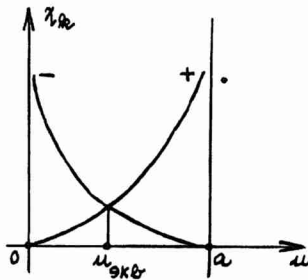


Рис. 1

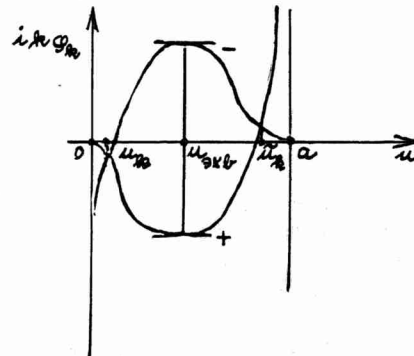


Рис. 2

На Рис. 2 изображены графики функций $i k_0 \varphi_{k_0}^+(u)$ и $i k_0 \varphi_{k_0}^-(u)$, которые по формуле (2₁) выражаются через $\chi_{k_0}^+(u)$ и $\chi_{k_0}^-(u)$ соответственно. Функция $i k_0 \varphi_{k_0}(u) = i k_0 \varphi_{k_0}^+ - i k_0 \varphi_{k_0}^-$, очевидно имеет нули $u_{k_0} < u_{\text{экв}}$ и $\tilde{u}_{k_0} > u_{\text{экв}}$ (Рис. 3). Поэтому пояс поверхности

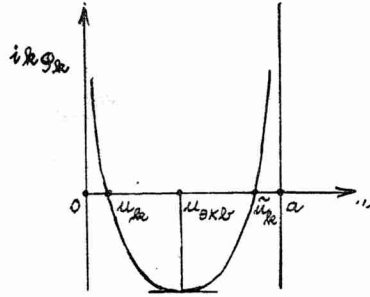


Рис. 3

S , заключенный между параллелями u_k и \tilde{u}_k , допускает бесконечно малое изгибание 1-го порядка \bar{x}_k , при котором параллели u_k и \tilde{u}_k скользят в своих плоскостях.

Отыскание бесконечно малого изгибания 2-го порядка поверхности S сводится к решению уравнения

$$(3) \quad \kappa(u) \chi_{2k}''(u) + (4k^2 - 1) \kappa'(u) \chi_{2k}'(u) = -2ik \frac{\kappa''(u)}{\kappa'(u)} \varphi_k(u) \varphi_k'(u)$$

при $k \geq 2$, где $ik \varphi_k = ik \varphi_k^+ - ik \varphi_k^-$. Через функции χ_{2k} без квадратур выражается функция

$$(4) \quad 2ik \varphi_{2k}(u) = -\kappa'(4k^2 - 1) \chi_{2k} - \kappa \chi_{2k}' + \{ \varphi_k, \varphi_k' \},$$

где $\{ \varphi_k, \varphi_k' \}$ - некоторое выражение, составленное из φ_k и φ_k' . Пусть $\chi_{2k}^{\pm}(u)$ - фундаментальная система решений однородного уравнения, соответствующего уравнению (3), удовлетворяющая условиям: $\chi_{2k}^{\pm}(u) > 0$ при $u \in (0, a)$, $\chi_{2k}^+(u_{\partial k l}) = \chi_{2k}^-(u_{\partial k l})$. Общее решение уравнения (3) имеет вид:

$$\chi_{2k}^{(2)}(u) = c_1 \chi_{2k}^+(u) + c_2 \chi_{2k}^-(u) + \hat{\chi}_{2k}^{(2)}(u),$$

где $\hat{\chi}_{2k}^{(2)}$ - частное решение уравнения (3), c_1 и c_2 - произвольные постоянные. По формуле (4) найдем функции

$$2ik \varphi_{2k}^{(2)}(u) = c_1 2ik \varphi_{2k}^+(u) + c_2 2ik \varphi_{2k}^-(u) + 2ik \hat{\varphi}_{2k}^{(2)}(u)$$

и покажем, что постоянные c_1 и c_2 можно выбрать так, что будут меть место равенства:

$$2ik \varphi_{2k}^{(2)}(u_k) = 0,$$

$$2ik \varphi_{2k}^{(2)}(\tilde{u}_k) = 0.$$

Для этого достаточно убедиться, что определитель

$$D = \begin{vmatrix} 2ik \varphi_{2k}^+(u_k) & , 2ik \varphi_{2k}^-(u_k) \\ 2ik \varphi_{2k}^+(\tilde{u}_k) & 2ik \varphi_{2k}^-(\tilde{u}_k) \end{vmatrix}$$

отличен от нуля.

Выясним поведение нулей функции $ik \varphi_{2k}(u)$ при возрастании k . Пусть натуральное число $m > k$, $\chi_k = \chi_k^+ - \chi_k^-$, $\chi_m = \chi_m^+ - \chi_m^-$ (Рис. 4).

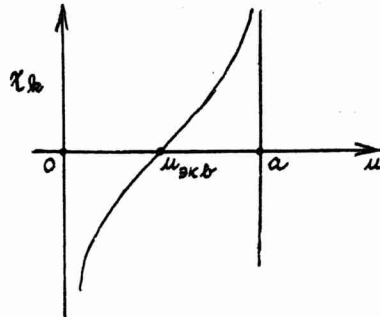


Рис. 4

Из уравнения (1) следует:

$$\begin{aligned} \chi_{k_0}'' &= - (k^2 - 1) \frac{\chi''}{\chi} \chi_{k_0} , \\ \chi_m'' &= - (m^2 - 1) \frac{\chi''}{\chi} \chi_m , \end{aligned}$$

откуда получаем:

$$(5) \quad (m^2 - 1) \chi_{k_0}'' \chi_m - (k^2 - 1) \chi_m'' \chi_{k_0} = 0 .$$

Интегрируя (5) по частям в интервале от $\mu \in (0, \mu_{\text{экл}})$ до $\mu_{\text{экл}}$, получим:

$$\begin{aligned} & - (m^2 - 1) \chi_{k_0}' \chi_m + (k^2 - 1) \chi_m' \chi_{k_0} = \\ & = \int_{\mu}^{\mu_{\text{экл}}} (m^2 - k^2) \chi_{k_0}' \chi_m' d\mu > 0 , \end{aligned}$$

откуда следует неравенство

$$(6) \quad \frac{\chi_m'}{(m^2 - 1) \chi_m} > \frac{\chi_{k_0}'}{(k^2 - 1) \chi_{k_0}}$$

при $\mu \in (0, \mu_{\text{экл}})$. Учитывая, что $\chi_m(\mu) < 0$ при $\mu \in (0, \mu_{\text{экл}})$, из (6) находим, что в точке $\mu = \mu_{k_0}$

$$im \varphi_m = - \chi (m^2 - 1) \chi_m \left[\frac{\chi'}{\chi} + \frac{\chi_m'}{(m^2 - 1) \chi_m} \right] > 0 .$$

Интегрируя (5) по частям в интервале от $\mu_{\text{экл}}$ до $\mu \in (\mu_{\text{экл}}, a)$, получим:

$$(m^2 - 1) \chi_{k_0}' \chi_m - (k^2 - 1) \chi_m' \chi_{k_0} = \int_{\mu_{\text{экл}}}^{\mu} (m^2 - k^2) \chi_{k_0}' \chi_m' d\mu > 0 ,$$

откуда следует:

$$(7) \quad \frac{\chi_m'}{(m^2 - 1) \chi_m} < \frac{\chi_{k_0}'}{(k^2 - 1) \chi_{k_0}}$$

при $\mu \in (\mu_{\text{экв}}, a)$. Учитывая, что $\chi_m(\mu) > 0$ при $\mu \in (\mu_{\text{экв}}, a)$, из (7) найдем, что в точке $\mu = \tilde{\mu}_k$

$$im \varphi_m = -\kappa(m^2 - 1) \chi_m \left[\frac{\kappa'}{\kappa} + \frac{\chi_m'}{(m^2 - 1) \chi_m} \right] > 0.$$

Таким образом, при возрастании k нули функции $i k \varphi_{2k}(\mu)$ перемещаются в направлении экватора поверхности. Поэтому абсциссы точек пересечения графиков функций $2i k \varphi_{2k}^+(\mu)$ и $2i k \varphi_{2k}^-(\mu)$ лежат ближе к точке $\mu = \mu_{\text{экв}}$, нежели точки μ_k и $\tilde{\mu}_k$ (см. Рис.5).

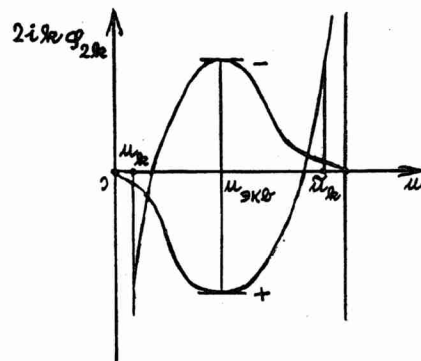


Рис. 5

Это означает, что

$$\frac{2i k \varphi_{2k}^+(\mu_k)}{2i k \varphi_{2k}^-(\mu_k)} < 1, \quad \frac{2i k \varphi_{2k}^+(\tilde{\mu}_k)}{2i k \varphi_{2k}^-(\tilde{\mu}_k)} > 1$$

и потому определитель D отличен от нуля.

Итак, постоянные c_1 и c_2 могут быть выбраны так, что $2i k \varphi_{(2)2k}^+(\mu_k) = 2i k \varphi_{(2)2k}^-(\tilde{\mu}_k) = 0$. При таком выборе c_1 и c_2 проекция изгибающего поля $\bar{\Sigma}_{(2)k}$ 2-го порядка на ось поверхности постоянна во всех точках каждой из граничных

параллелей:

$$(\bar{x}_{(2)k}, \bar{e})|_{u=u_k} = \varphi_{(2)2k}(u_k) e^{2ikv} + \varphi_0(u_k) + \bar{\varphi}_{(2)2k}(u_k) e^{-2ikv} = const,$$

$$(\bar{x}_{(2)k}, \bar{e})|_{u=\tilde{u}_k} = \varphi_{(2)2k}(\tilde{u}_k) e^{2ikv} + \varphi_0(\tilde{u}_k) + \bar{\varphi}_{(2)2k}(\tilde{u}_k) e^{-2ikv} = const.$$

Следовательно, пояс поверхности S , заключенный между параллелями u_k и \tilde{u}_k допускает бесконечно малое изгибание и 2-го порядка, при котором параллели u_k и \tilde{u}_k остаются плоскими кривыми.

Л и т е р а т у р а

[1] E. REMBS: Über Gleitverbiegungen, Math. Ann., 111, 4 (1935), 587-595.

[2] С. КОН-ФОССЕН: Нежесткие замкнутые поверхности, в сб. "Некоторые вопросы дифференциальной геометрии в целом", М., Физматгиз, 1959, стр. 87-114.

Ростов. гос. университет

кафедра геометрии

Ростов-на-Дону

С С С Р

(Облатум 18.2.1974)